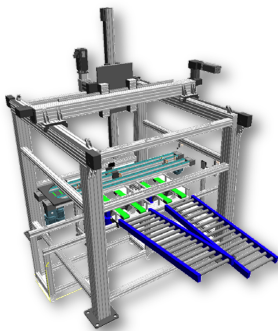


### Chapitre 3

#### Modélisation des SLCI par schémas blocs

#### TD 3

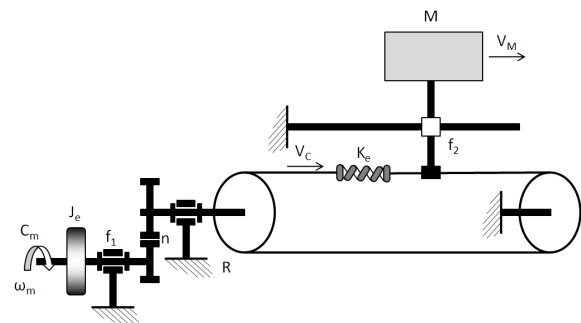
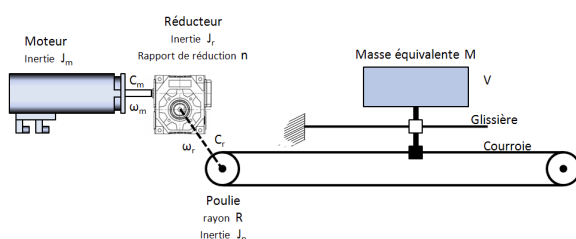
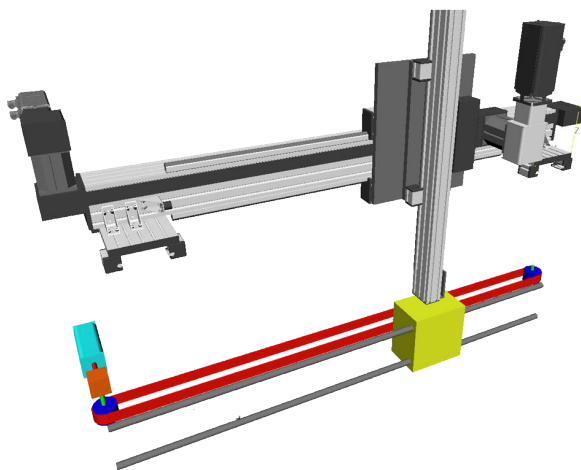


#### Asservissement d'un axe de robot cartésien

*D'après concours externe de l'agrégation de Génie Mécanique – Épreuve d'Automatique et d'Informatique Industrielle – 2008.*

**Savoirs et compétences :**

Objectif TODO



Une ligne d'assemblage est équipée d'un robot cartésien permettant de réaliser des opérations de chargement et de déchargement. Ce robot possède 3 axes perpendiculaires entre eux. Nous nous intéressons à la commande d'un des axes dont ont donné un premier modèle.

On note :

- $\omega_m(t)$ ,  $\omega_p(t)$  ( $\text{rad} \cdot \text{s}^{-1}$ ) : fréquences de rotation du moteur et de la poulie ;
- $Y_c(t)$ ,  $Y_m(t)$  (m) : position de la courroie et du chariot ;
- $V_c(t)$ ,  $V_m(t)$  ( $\text{m} \cdot \text{s}^{-1}$ ) : vitesses linéaires de déplacement de la courroie et du chariot ;
- $R = 45 \cdot 10^{-3}$  m : rayon de la poulie ;
- $n = \frac{\omega_m}{\omega_p} = 7,25$  : rapport de transmission du réducteur simple ;
- $K_e = 300\,000 \text{ N} \cdot \text{m}^{-1}$  : raideur équivalente de la courroie ;
- $f_m = 0,005 \text{ N} \cdot \text{m} \cdot \text{rad}^{-1} \cdot \text{s}^{-1}$  et  $f_g = 100 \text{ N} \cdot \text{m}^{-1} \cdot \text{s}^{-1}$  : frottements visqueux équivalents dans les éléments

en rotation et dans la glissière ;

- $M = 150 \text{ kg}$  : masse du chariot et de la charge à déplacer ;
- $J_e = 0,0062 \text{ kg} \cdot \text{m}^2$  : inertie équivalente de l'arbre de la poulie et de l'arbre moteur ramenée à l'arbre moteur ;

La relation entre la fréquence de rotation du moteur et la vitesse de déplacement de la courroie est donnée par la relation suivante :

$$V_c(t) = R \cdot \omega_p(t) = \frac{R}{n} \cdot \omega_m(t) \quad (1)$$

L'effort dû à l'élasticité de la courroie s'opposant à l'effort de traction de la courroie, on a :

$$F_c(t) = K_e(Y_c(t) - Y_m(t)) \quad (2)$$

L'application du théorème de la résultante dynamique au chariot en projection sur l'axe de déplacement du chariot on a :

$$M \frac{dV_m(t)}{dt} = F_c(t) - f_g V_m(t) \quad (3)$$

L'application du théorème de l'énergie cinétique à l'ensemble {Moteur, Réducteur, Courroie} :

$$\frac{d}{dt} \left[ \frac{1}{2} J_e \omega_m(t)^2 \right] = C_m(t) \omega_m(t) - f_m \omega_m(t)^2 - F_c(t) V_c(t) \quad (4)$$

**Question 1** Donner dans le domaine temporel puis dans le domaine de Laplace la relation entre  $V_m(t)$  et  $Y_m(t)$ . Comment traduire cette relation en schéma bloc ?

**Question 2** Appliquer la transformée de Laplace à chacune des équations et établir la modélisation par schéma bloc associée à chacune d'entre elles.

**Question 3** En utilisant la figure 1, établir le schéma bloc associé au déplacement du chariot en fonction du couple fourni par le moteur.

**Question 4** Établir la fonction de transfert (transmittance) :  $H(p) = \frac{V_m(m)}{C_m(p)}$ .

**Question 5** Montrer que  $H$  peut se mettre sous la forme d'un produit d'une fonction de transfert du premier ordre et du second ordre dont on explicitera chacune des caractéristiques.

**Question 6** Tracer le diagramme de Bode des deux fonctions de transfert élémentaires ainsi que du système complet.

**Question 7** En déduire à quelle condition, on peut considérer que le système est modélisable uniquement par un second ordre.

**Question 8** Montrer que si la raideur de la courroie est infiniment grande (et que  $K_e$  est donc infinie)  $H$  peut se mettre sous la forme d'une fonction de transfert du premier ordre dont on explicitera les caractéristiques.

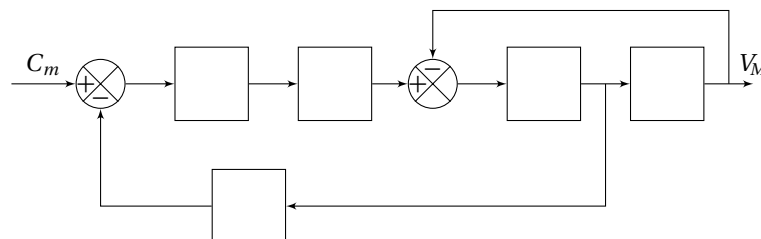


FIGURE 1 – Schéma bloc à remplir